

# الطاقة الشمسية لتبريد نموذج بيت صغير باستخدام دورة الامتزاز المتناوبة\*

\* ناجي عبدالله حسين العماري

## 1- مقدمة

إن أكثر الاستعمالات شيوعاً للطاقة الشمسية هي في أنظمة تسخين الماء والتدفئة أو إنتاج الطاقة الكهربائية، ولكن الطاقة الشمسية يمكن أيضاً استخدامها في أغراض التبريد، حيث هناك الحاجة لحفظ الأطعمة والأدوية (وتشمل إنتاج الثلج وتخزين اللقاحات) وتبريد أماكن المعيشة (تكييف الهواء).

حراري بدبل وتقل الطاقة الحرارية باستخدام مجمع ذي اللوح المستوي. أيضاً في مثل هذه الأنظمة فإن هناك دوري عمل مختلفتين يتم استخدامهما هما الدورة المستمرة (Continuos Cycle) والدورة المتناوبة (Intermittent Cycle). في هذا البحث تم استخدام الدورة المتناوبة.

## 2- دورة الامتزاز

في كل أنظمة الامتزاز أو الامتصاص فإن الحرارة تعطي إلى المولد عند درجة حرارة  $T_e$ ، بينما يتم استخلاصها من المبرد حيث يتم إنتاج "البرودة" عند درجة حرارة  $T_c$ . الحرارة تطرد من النظام إلى الوسط الخيط (خارج المكان المراد تبريده) من المكثف عند درجة حرارة  $T_s$ ، ومن المتصص عند درجة حرارة  $T_a$ . درجة الحرارة  $T_e$  و  $T_c$  هما تقريباً متساويان وسوف نشير إليهما بدرجة الحرارة  $T_e$ .

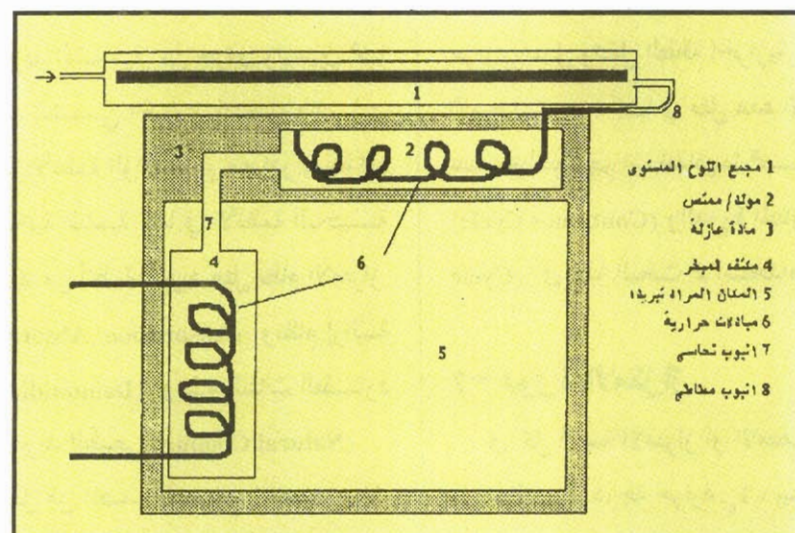
وتكون أنظمة التبريد الشمسية من جزئين رئيسيين هما جهاز التبريد والمصدر الشمسي الحراري لتشغيله والذي يمثل الشمس في حالة الأنظمة الواقعية، أو مصادر بديلة إذا لم توفر الظروف المناخية المناسبة كما في الأنظمة البحثية المعملية. وهناك العديد من أنظمة التبريد مثل نظام الامتزاز / الامتصاص (Adsorption/ Absorption)، ونظام إزالة الرطوبة (Dehumidification)، ونظام النفاث الطارد (Jet Ejector)، والتبريد الطبيعي (Natural Cooling).

الطاقة الحرارية تنتقل من المصدر الشمسي الحراري إلى جهاز التبريد عن طريق ما يعرف بالجمع ذي اللوح المستوي (Flat Plate Collector) وهذه الجمادات ذات اللوح المستوي تعمل عند درجات حرارة مختلفة طبقاً إلى الصنع والكفاءة والاستعمال. وفي هذا البحث تم استخدام جهاز تبريد يعتمد على دورة الامتزاز ويستخدم بمصدر

الرفع يكون في المدى إلى  $30 - 25$  وهذا يجعل درجة حرارة المولد  $T_g$  تقريباً في المدى  $58 - 53$ . درجة حرارة الجمجم سوف تكون أكثر سخونة بقليل من هذه الدرجة والتي تعتبر معقوله بالنسبة لجمع ذي اللوح المستوى. ولكن إذا لم يعملا الجمجم عند درجة الحرارة هذه، فيجب زيادة درجة حرارة المبخر  $T_e$  على سبيل المثال إلى  $13^{\circ}\text{C}$  وبالتالي درجة حرارة المولد  $T_g$  تصبح تقريباً في المدى  $55 - 50$ , أي أن درجة حرارة المولد  $T_g$  قد نقصت إلى مقدار ممكناً. أي إنماص آخر في  $T_g$  يتم الحصول عليه على حساب الزيادة في  $T_e$ .

### 3- الدورة المتداوبة

النظام المستخدم لهذه الدورة يتكون من خزانين متصلين بعضهما، كل خزان يقوم بأداء وظيفتين كما في شكل (1). الخزان A يعمل على أنه مولد ومتصل بينما الخزان B يقوم بدور المكثف والمبخر. يحتوي الخزان A على خليط من المبرد والمادة المازة؛ ويحتوي الخزان B على المبرد فقط. يمكن فهم طريقة عمل هذه الدورة بمساعدة شكل (2).



شكل (1)

عند غياب المصدر الحراري الشمسي البديل (مصابيح متغيرة الشدة في وضع إطفاء) وبمثل هذا الصباح الباكر مثلاً، فإن النظام عند درجة

والتي تختلف عن درجة حرارة الغرفة بدرجات قليلة. كمية الحرارة المعطاة عند النهاية (الم منطقة) الساخنة ستكون دائماً أكبر من كمية الحرارة المستخلصة من النهاية (الم منطقة) الباردة.

وعلى هذا الأساس يعرف معامل الأداء (Coefficient of Performance. COP) على أنه النسبة بين كمية الحرارة المستخلصة من عند الم منطقة الباردة إلى كمية الحرارة المعطاة عند الم منطقة الساخنة. وبالتالي فإن  $\text{COP} = 1$  لنظام مثالي، و  $1 < \text{COP} <$  لأنظمة عملية واقعية، فعلى سبيل المثال  $0.7 \approx \text{COP} \approx 0.4$  لجموعات صناعية،  $0.4 < \text{COP} <$  لوحدات صغيرة. درجة الحرارة  $T_e - T_g$ ، تسمى "الرفع" ودرجة الحرارة  $T_e - T_c$  تسمى "الخفض".

درجة حرارة الرفع تساوي تقريباً درجة حرارة الـخفض في حالة الأنظمة المثالية، ويكون الرفع دائماً أكبر من الـخفض في حالة الأنظمة الواقعية. درجة حرارة التشغيل

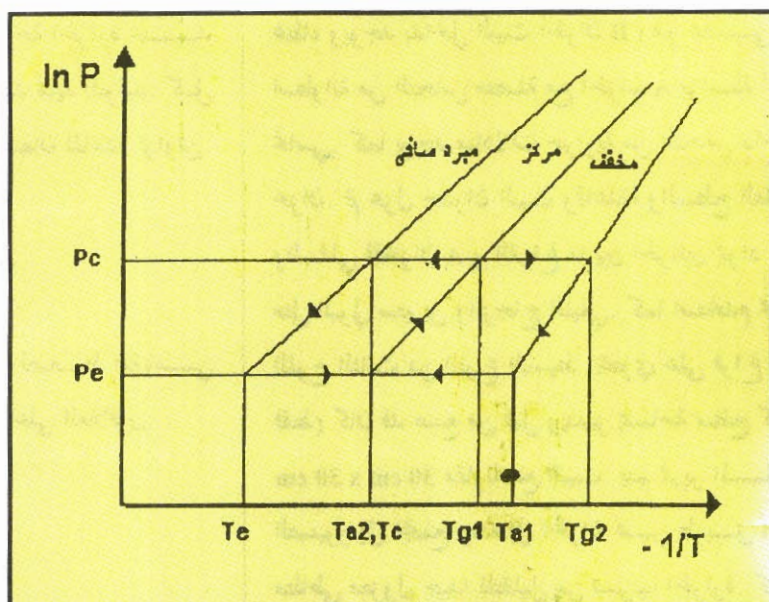
للمولد يتم تثبيتها وبالتالي يتم تثبيت درجة حرارة المجمع. إذا افترضنا أننا نريد درجة الحرارة عند المبخر على أنها تساوي على سبيل المثال  $10^{\circ}\text{C}$ ، وإذا كانت

درجة حرارة الغرفة

حوالي  $22^{\circ}\text{C}$  وبالتالي هذا

يشتت درجة حرارة المكثف  $T_e$  إلى حوالي  $28^{\circ}\text{C}$  ويصبح الـخفض تقريباً  $18^{\circ}\text{C}$ ، على المعطيات السابقة فإن

أو أقل من ضغط المبرد في الخزان B وهذا يؤدي إلى تبخر المبرد إلى الخزان A عن طريق امتصاص الحرارة من الوسط المراد تبریده ويريد نفسه إلى درجة حرارة الوسط، ثم يستخلص كمية أخرى من الحرارة من الوسط حتى يبرده إلى درجة الحرارة المطلوبة  $T_e$ . مقدار  $T_e$  يعتمد على نوعية غرض التبريد مثل تكييف الهواء أو التجميد العميق .. الخ.



شكل (2)

درجة الحرارة  $T_e$  تقلل درجة الحرارة

عند طرد الحرارة ويجب أن تكون أقرب ما

يمكن إلى درجة حرارة الغرفة كما تسمح به ميكانيكية انتقال الحرارة والعملية الاقتصادية. درجة الحرارة  $T_{e2}$  يجب أن تكون أقل ما يمكن حتى يكون تركيز الخليط أكبر ما يمكن وهذا سيجعل للتغير في التركيز قيمة عظمى في عملية الامتصاص العكسية، وبالتالي فإن كمية المادة التي تسخن وتبرد بالمبرد المترد دون فائدة تصبح قيمة صفرى.  $T_{e2}$  أيضاً محددة بنفس الاعتبارات السابقة في حالة درجة الحرارة  $T_e$ . على الرغم من أن  $T_{e2}$  ليست بالضروري مساوية  $T_e$ ، فإنه من المفيد اعتبار الحالة البسيطة التي يكونان فيها متتساويان.

#### 4- ثرموديناميكا دورة الامتصاص

من خلال الرسم البياني في شكل (2) فإن درجات الحرارة المختلفة تمثل في الآتي:

$T_{e1}$  هي درجة الحرارة عند بداية الامتصاص،  $T_{e2}$  هي درجة الحرارة عند نهاية الامتصاص،  $T_e$  هي درجة حرارة التبخر،

حرارة الغرفة (المعلم)  $T_{e2}$  وهي تتراوح بين (25-24°C). عند تشغيل المصايد الضوئية لمحاكاة المصدر الحراري الشمسي، فإنه يتم تسخين الخليط المركز للمبرد والمادة المازة في الخزان A عن طريق الجمع ذي اللوح المستوى، ويؤدي إلى ارتفاع درجة الحرارة في المولد، وبالتالي يرتفع ضغط المبرد إلى ضغط معين  $P_e$  وبدأ العملية العكسية للامتصاص حيث يتم انتقال المبرد عند ضغط ثابت إلى المكثف.

يتعدد المبرد عند المكثف ويكتشف وقبط درجة حرارته وضغطه. في نفس الوقت فإن درجة حرارة المولد مستمرة في الارتفاع وعملية انتقال المبرد عند ضغط ثابت مستمرة وهكذا تخف درجة تركيز الخليط حتى تصل إلى درجة حرارة قصوى محددة  $T_{e2}$  وهكذا يصبح الخليط المركز مخففاً عند هذه المرحلة.

عند إطفاء المصايد الضوئية لمحاكاة فترة غياب الشمس، فإن المادة المازة تبرد وينخفض ضغطها إلى ضغط متتساو

غطاء ويوجد بداخل البيت الخزان B وهو على هيئة اسطوانة من النحاس متصلة مع الخزان A بواسطة أنبوب نحاسي. كما يوجد ميادلات حرارية من النحاس داخل كل خزان. تم عزل جدران البيت وقاعدته والسطح العلوي والسفلي للخزان A و الفراغ ما بين الخزانين بمواد عازلة مثل البولي ستيرين والزجاج الليفي. كما استخدم جمجم ذو اللوح الثابت من النوع البسيط (يحتوي على فراغ واحد فقط) كان قد صنع من قبل ويتميز بمساحة سطح كبيرة 30 cm x 30 cm مقارنة مع البيت. يتم تهوية الماء من الصنبور إلى الجمجم ومنه إلى الخزان عن طريق أنبوب مطاطي معزول جيداً للتقليل من تسرب الحرارة. كما يتم نقل الماء أيضاً إلى الميادلات الحرارية من الصنبور عن طريق أنابيب مطاطية. استعملت مصابيح متغيرة الشدة متصلة بمحول وتقياس شدتها بواسطة مقياس ضوئي. تم التأكد من عدم وجود تسرب للمبرد من النظام باستخدام مواد لاصقة. كما استخدمت الترمومترات والازدواجيات الحرارية لقياس درجة الحرارة.

## 2.5 المبرد والمادة المازة

النوعان الرئيسيان للمبرد المستخدمان في هذه التجربة هما الماء والميثanol، وهما للمادة المازة الزيوليت والفحمر المنشط. الزيوليت هي سيليكات الألومنيوم والصوديوم أو البوتاسيوم، ولها هيكلية إسفنجية تسمح بمرور الماء بحرية خلاياها، ولها أيضاً مساحة سطح عالية بحيث تستطيع أن تفترضحوالي 30% من وزنها ماء، كما أنها متوفرة طبيعياً ورخيصة الثمن. أنواع الأخلال التي تم اختبارها هي: (1) الماء والزيوليت . (2) الميثanol والفحمر المنشط (3) الميثanol والزيوليت . الفحمر المنشط يتميز عن الزيوليت بعدة ميزات منها أنه أرخص من الزيوليت ويمكن أن يصنع

هي درجة حرارة التكثيف،  $T_{g1}$  هي درجة الحرارة عند بداية التوليد،  $T_{g2}$  هي درجة الحرارة عند نهاية التوليد. كل من المبرد والإيسوستر (isosteres) يخضعان لقاعدة تراوتن:

$$\ln p \propto \left(1 - \frac{T}{T_b}\right)$$

حيث  $T_b$  تمثل نقطة الغليان عند الضغط المقياسي (1 ضغط جوي). ومنه يمكن الحصول على العلاقة:

$$T_{a2}^2 = T_e T_{g1}$$

$$T_{g1} T_{a1} = T_{g2} T_{a2}$$

ومنهما يمكن الحصول على  $T_g$  بمعلومة  $T_{a2}$  والتي تبلغ حوالي  $24^\circ\text{C}$  و  $T_e$  التي تتغير من  $10^\circ\text{C}$  إلى  $22^\circ\text{C}$  في العادة  $T_{g2}$  أكبر من  $T_{g1}$  بمقدار  $10^\circ\text{C}$  على أقل تقدير. ويمكن أن نلاحظ أن  $T_{a2}$  تكون أقرب ما يكون من درجة حرارة الغرفة لتجنب درجات حرارة توليد عالية  $T_{g1}$  و  $T_{g2}$ .

يعرف معامل الأداء، COP بأنه النسبة بين كمية الحرارة للتباخر عند  $T_e$  إلى متوسط كمية الحرارة للامتزاز، ويعطي للنظام العملي المستخدم بإحدى المعادلين:

$$\text{COP} = T_e / T_{g1} = T_e / T_{a2}$$

$$\text{COP} = T_e / T_{g2} = T_e / T_{a1}$$

## 5- التجربة

### 1.5 نظام التبريد والأجهزة المستعملة:

يتكون نظام التبريد من ثوذج لبيت مصنوع من الخشب أبعاده (20cm x 20cm x 30 cm)، ويوجد على السطح العلوي للبيت الخزان A وهو صندوق من الألومنيوم له

ج) عند استعمال الازدواج الحراري للقياس فإن عملية معايرة يتم إجراؤها قبل البدء في التجربة كما في الجدول (1).

د) يتم تغیر الماء في المبادل الحراري في المكثف في الجزء الأول من الدورة المساعدة في عملية التكثيف وفي المبادل الحراري للممتص في الجزء الثاني من الدورة للمساعدة في عملية الامتزاز.

و كانت النتائج المتحصل عليها كما يلي:  
النتيجة (1) :- خليط الماء والزيوليت

$$\text{متوسط الشدة} = 3240 \text{ W/M}^2$$

$$\text{معدل التدفق} (R) = 1.94 \times 10^{-6} \text{ m}^3/\text{s}$$

بعد ساعة من العمل وصلت درجة حرارة المولد  $38^\circ\text{C}$   
وهذه ليست كافية لبدء عملية الامتزاز العكسية (التوليد)  
للماء. وعند محاولة تشغيل النظام لفترة زمنية أطول مثلاً

بالخواص التي تتناسب مع الاستخدام عن طريق تغيير زمن التشطيط، كما أنه يمكن تصنيعه في موطن توافره الأصلي.

### 3.5 الاختبارات والنتائج

لقد تم إجراء العديد من الاختبارات على أنواع مختلفة من الأخلط وتحديد معامل الأداء لكل خليط وتسجيل الملاحظات المهمة مع الأخذ في الاعتبار النقاط العملية التالية:

أ) ثبتت المصايد الضوئية على مسافة ثابتة فوق الجموع ذي اللوح المستوي، وتم تحديد شدة الأشعة الساقطة عليه عند خمس مناطق مختلفة على الجموع بواسطة المقياس الضوئي وأخذ متوسط هذه القراءات.

ب) تحديد معدل التدفق للماء من الصببور (R  $\text{m}^3/\text{s}$ ) بواسطة إناء مدرج وساعة إيقاف.

جدول (1)

EMF (MV)	T(C)										
0.5	14	1.1	27	1.4	37	1.9	50	2.4	61	2.8	72
0.6	16	1.1	28	1.4	38	2.0	51	2.5	62	2.8	73
0.6	18	1.2	29	1.5	40	2.1	52	2.5	63	2.9	74
0.7	19	1.2	30	1.5	41	2.2	54	2.6	65	3.0	75
0.8	20	1.2	32	1.6	42	2.2	55	2.6	66	3.0	76
0.9	23	1.2	33	1.7	43	2.2	57	2.2	67	3.1	77
0.9	24	1.3	34	1.7	44	2.3	58	2.7	68	3.1	78
1.0	25	1.3	35	1.7	46	2.3	59	2.7	69	3.2	79
1.0	26	1.3	36	1.8	48	2.3	60	2.7	70	3.2	80

حدثت في دورة التبريد تكمن في العزل السني للمولد (الخزان A) مما سبب في تسرب الحرارة إلى البيت وأيضاً من الجدران الأخرى للبيت على نحو أقل. عدم كفاية الزمن لحدوث عملية الامتزاز لتلافي جميع الصعوبات السابقة يتطلب تحسين العازل للجدران والمولد خاصة، والبحث عن بديل لمبرد آخر يتطابق عند درجات حرارة أقل من الماء. في التجارب التالية تم استعمال الميثanol (Bp=65 °C).

#### النتيجة (2) :- خليط الميثanol والفحى المنشط

$$\text{متوسط شدة الأشعة} = 2916 \text{ W/m}^2$$

تم قياس درجة حرارة الماء الخارج من المجمع  $T_{out}$  ، وهي تقريباً تساوي درجة حرارة الدخول للمولد بافتراض عدم وجود أي فقدان حراري بين المجمع والمولد عند العزل الجيد. قيست درجة حرارة المولد  $T_g$  ودرجة حرارة المكثف (السطح الخارجي للخزان)  $T_e$ . زمن التشغيل للماضي 4 ساعات وتم الحصول على النتائج الواردة في الجدول (2).

نلاحظ نقصان درجة الحرارة القصوى من المجمع مع زيادة زمن التشغيل بسبب النقصان في كفاءة الجمع. ثم أطفئت الماصيبي لبداً عملية التبريد وتم الحصول على النتائج في الجدول (3). حيث  $T_g$  درجة حرارة المولد/المتصى و  $T_e$  درجة حرارة المبخر/المكثف. درجة حرارة الغرفة = 25°C وكان زمن تشغيل الدورة 4 ساعات. هذا يعني أن هناك تبريد بمقدار درجتين عن درجة حرارة الغرفة ، وكان من الممكن أن يزداد أكثر من ذلك إذا استمرت الدورة لزمن أطول. مع ملاحظة أن المكان المراد تبریده قد ارتفعت درجة حرارته قليلاً في بداية الدورة وذلك بسبب العزل. يمكن حساب

من خمس إلى ست ساعات أدى هذا إلى صعوبات عملية منها التسخين العالى للماصيبي للحصول على نفس الشدة ، وكذلك فقدان الجمجم الحراري لكتفاته عند درجات حرارة مرتفعة.

خطوات أخرى اتخذت وهي تغير معدل تدفق الماء إلى معدل أقل من السابق  $R=1.36 \times 10^{-6} \text{ m}^3/\text{s}$  ، وزيادة التشغيل إلى زمن أطول من 2 إلى 3 ساعات. وفي هذه الحالة وصلت درجة حرارة الماء عند الخروج إلى 50°C مع اعتبار الفاقد في درجة الحرارة فإن درجة حرارة المولد قد تصل إلى 52°C بعد إطفاء الماصيبي لبداً عملية التبريد، وبعد مرور ساعة لم يلاحظ أي تغير على درجة حرارة المكان المراد تبریده بل على العكس من ذلك كان هناك ارتفاع طفيف في درجة الحرارة عن درجة حرارة المعمل ، وبالتالي تم إيقاف التسخينية . يعتقد بأن المشاكل التي

جدول (2)

$T_e(\text{C})$	$T_g(\text{C})$	$T_{out}(\text{C})$	$R(\text{m}^3/\text{s}) \times 10^{-6}$
17	49	51	2.50
19	55	59	2.17
21	56	56	1.60
18	50	50	1.90

جدول (3)

$T_e(\text{mv})$	$T_g(\text{mv})$	$T_{space}(\text{C})$
0.8	2.1	26
0.9	1.8	26
0.9	1.1	27
0.9	0.8	26
0.9	0.7	26
0.9	0.6	25
0.9	0.6	24
0.9	0.6	23.8
0.9	0.6	23.5
0.9	0.6	23

## تقارير ودراسات

درجة حرارة البيت في بداية دورة التبريد بسبب تسرب الحرارة.

معامل الأداء من المعادلة (متوسط القيم للدورة):

$$COP = T_c / T_g = 0.71 / 2.02 = 0.35$$

النتيجة (5) : - خليط الميثانول والزيوليت ، تشغيل ثانى متوسط شدة الإضاءة =  $1800 \text{ W/m}^2$  ، زمن تشغيل المصايد = ساعتان ، وبسبب تغيرات في ضغط الماء كان هناك ثلاثة معدلات تدفق خلال عملية التسخين وكانت النتائج للتجربة كما في الجدولين (8) و (9)

درجة حرارة الغرفة =  $25^\circ \text{ C}$  -  $24^\circ \text{ C}$  ، وهذا يعطي تبريدا للبيت بمقدار  $25^\circ \text{ C}$  -  $24.5^\circ \text{ C}$  درجات. معامل الأداء في بداية دورة التبريد بسبب تسرب الحرارة واستعمال هواء في المبادر الحراري للمولد بدلا من الماء في بداية الدورة .

النتيجة (3) : - خليط الميثانول والفحى المنشط ، تشغيل ثانى

متوسط شدة الإضاءة =  $2995 \text{ W/m}^2$  ، وكما في التجربة السابقة زمن تشغيل المصايد 4 ساعات ولكن تم زيادة زمن دورة التبريد إلى 7 ساعات. النتائج المتحصل عليها كما في الجدولين (4) و (5).

درجة حرارة الغرفة =  $24^\circ \text{ C}$  ، وهذا يعني أن هناك تبريدا للبيت بمقدار 3 إلى 4 درجات. ومعامل الأداء COP = 0.41 نلاحظ مقدارا عاليا للتبريد وارتفاع معامل الأداء وهذا يرجع إلى زيادة زمن دورة التبريد.

جدول (4)

$T_c(\text{C})$	$T_g(\text{C})$	$T_{out}(\text{C})$	$R(\text{m}^3/\text{s}) \times 10^{-6}$
21	32	65	1.25
25	68	74	1.90
19	55	55	1.70

جدول (5)

$T_c(\text{mv})$	$T_g(\text{mv})$	$T_{space}(\text{C})$	HUOR
0.9	1.2	24	1
0.9	0.6	23	2
0.9	0.6	22	3
0.8	0.6	21.5	4
0.8	0.6	21	5
0.8	0.6	20.8	6
0.8	0.6	20.5	7

النتيجة (4) : - خليط الميثانول

والزيوليت

متوسط شدة الإضاءة =  $3788 \text{ W/m}^2$  وكما في التجربة السابقة زمن تشغيل المصايد 4 ساعات ولكن زمن دورة التبريد تم زيارته إلى 7 ساعات. النتائج المتحصل عليها في الجدول (6) والجدول (7).

درجة حرارة الغرفة  $24^\circ \text{ C}$  -  $25^\circ \text{ C}$  ، وهذا يعطي تبريدا للبيت بمقدار 3-2.5 درجات. معامل الأداء COP = 0.26 نلاحظ ارتفاع

## 6. الاستنتاج والمناقشة

1. يمكن القول من خلال الاختبارات السابقة : إن مشكلة تسرب الحرارة إلى البيت تتمثل عائقاً كبيراً على عملية التبريد، وهذا السبب يجب التفكير في تصميم آخر يتم فيه إبعاد المولد عن البيت والبحث أيضاً عن مادة عازلة جيدة.

2. يجب إعطاء كل من دورة التسخين ودورة التبريد الوقت الكافي للحصول على نتائج جيدة.

3. درجة حرارة المولد لا تبقى ثابتة بسبب تغيرات في معدل تدفق الماء في المبادر الحراري ، وهذا يرجع إلى تغيرات في ضغط ماء الصنبور. يمكن استخدام وسائل أخرى مثل خزان الرأس الثابت والسيفون الحراري (Thermos siphoning) للمائع المستخدم في المبادرات الحرارية.

4. الجمع ذو اللوح المستوي المستخدم يبدو أنه غير كاف للغرض ويستحسن استعمال بديل أفضل ذي كفاءة عالية.

5. معاملات الأداء ومقدار التبريد كان أعلى ما يكون في حالة خليط الميثanol والفحم النشط ولكن هذا لا يلغى أهمية

الريوليت كمادة مازة جيدة ويجب إجراء اختبارات أخرى عليها . ارتفاع درجة حرارة المولد  $T_g$  لا يؤدي إلا إلى انخفاض في قيمة معامل الأداء كما في الشكل (3) الذي يمثل العلاقة بين COP و  $T_g$  عند قيم مختلفة لدرجة حرارة المكثف .

جدول (6)

$T_c(MV)$	$T_g(MV)$	$T_{out}(MV)$	$R(m^3/s) \times 10^{-6}$
0.7	1.3	2.2	-
0.7	1.5	2.4	-
0.7	2.1	3.0	-
0.7	2.4	3.0	-
0.6	2.2	2.6	1.9
0.7	2.8	3.0	1.8

جدول (7)

$T_c(mv)$	$T_g(mv)$	$T_{space}(C)$	HUOR
0.8	2.1	27.5	1
0.9	0.8	26.5	2
0.9	0.9	25	3
0.9	0.7	23	4
0.9	0.6	22	5
0.9	0.6	22	6
0.9	0.6	22	7

جدول (8)

$T_c(MV)$	$T_g(MV)$	$T_{out}(MV)$	R
0.7	1.5	2.8	R1
0.7	2.0	2.8	
0.7	2.1	2.8	
0.6	1.6	2.0	R2
0.6	1.8	2.1	
0.6	1.9	2.5	
0.6	1.8	2.0	R3
0.6	1.9	2.2	
0.6	1.9	2.4	
0.6	2.1	2.6	

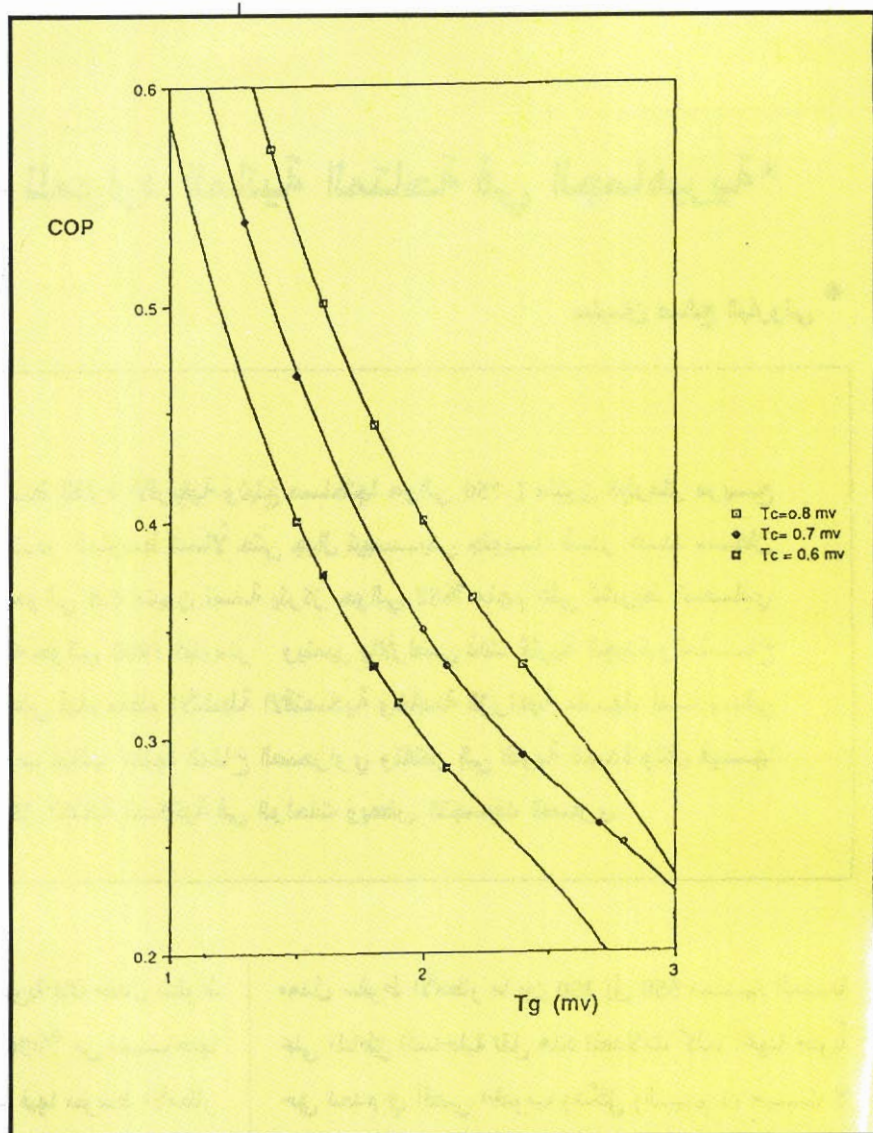
.6

جدول (9)

$T_c(mv)$	$T_g(mv)$	$T_{space}(C)$	HUOR	
0.9	1.7	27	1	مولد ببرد بالهواء
0.9	1.5	27	2	
1.0	1.4	27	3	
1.0	1.2	26	4	
1.0	0.9	25	5	
1.0	0.8	25	6	
1.0	0.7	24	7	مولد ببرد بالماء
0.9	0.7	23	8	
0.9	0.6	22	9	

## 7. المراجع

1. R.E.Critoph, Performance Limitations of Adsorption Cycles for Solar Cooling, Solar Energy, England 1988, pp. 21-31.
2. Paul J. Wilbur and Thomas R. Manikin, A Comparison of Solar Adsorption Air Conditioning system Solar Energy, USA 1976, pp. 569-576.
3. M. L. Warren and M. Wahlig, cost and performance for commercial Active Solar Absorption cooling systems, Transactions of the ASME. Journal of Solar Energy Engineering. U.S.A, 1985. PP. 136.
4. A.A.M Sayigh, Solar Energy Engineering.
5. J.B. Goodenough, Prospects and Scope for Solar Energy Technology Transfer and Change in the Arab world, edited by A. B. Zahlan.
6. Harry Tabor, Use of Solar Energy for Cooling Purposes, Proceedings of the United Nations Conference on New Sources of Energy. Of Solar Energy, Vol. 6.
7. R. Chung and J.A.Duffie Cooling with Solar Energy, Proceedings of the United Nations conference on New Sources of Energy, Solar Energy, Vol. 6.
8. N. Sheridan, Prospects of Solar Air Conditioning In Australia, Proceedings of the United Nations Conference on New Sources of Energy. Solar Energy. Vol. 6.
9. Assad Takla, Development of Solar Energy Utilization in Developing Countries, Technology for Solar Energy Utilization.
10. A.A.M Sayigh, of Solar Flat Plate Collectors, Technology For Solar Energy Utilization
11. Erich A. Farber, Solar Refrigeration and Cooling. Technology for Solar Energy Utilization.
12. A. Eggers-Lura, Solar Refrigeration in Developing Countries, Technology for Solar Energy Utilization.
13. V. G. Bhide, Solar Space Heating and Cooling. Technology for Solar Energy Utilization.



شكل (3)

وفي النهاية يمكن القول بأن دورة الامتراد المتباينة هي بديل جيد يمكن استغلاله في أغراض التبريد ولكن بعد التغلب على الصعوبات السابق ذكرها وإجراء اختبارات أخرى على تصاميم مختلفة للدورة. النظام يمكن بعد ذلك اختباره على غودج أكبر أو حتى حقيقي.